

Numerical study of transition rate and B(E2) transition strengths for $^{17}\text{O}(p,\gamma)^{18}\text{F}$ reaction

Amir Hooman Aranpour, Hasan Khalili*, Shahla Nahidinezhad, Maasoumeh Dalvand

Department of Physics, Faculty of Science, Arak University, Arak 8349-8-38156, Iran

Received: 19.06.2023 Final revised: 11.08.2023 Accepted: 09.10.2023

DOI: [10.22055/jrmbs.2024.18898](https://doi.org/10.22055/jrmbs.2024.18898)

Abstract

The study of the astrophysical S-factor is one of the methods of analyzing proton radiation capture reactions in the theoretical framework for low temperatures. In this research, we have numerically studied the proton radiative capture reaction by ^{17}O using the Woods-Saxon potential model. First, the astrophysical S-factor $^{17}\text{O}(p,\gamma)^{18}\text{F}$ reaction was calculated at low energies, and then the reaction rate of $^{17}\text{O}(p,\gamma)^{18}\text{F}$ was obtained from the astrophysical S-factor. Also, in this study, the electrical quadrupole transition strength (B[E2]) for excited states ^{18}F nucleus has been calculated. We found that B[E2] depends on the energy and spin of the excited states. The results corresponding to the astrophysical S-factor, reaction rate and transition strength at energy range of 200-500 keV were compared with experimental data and other theoretical models and were in good agreement. Also, the astrophysical S-factor at zero energy was calculated by the extrapolation method for $(5/2)^+$ state and $S(0)=4/8$ keV b.

Keywords: Potential Model, Radiative Capturing Reaction, Astrophysical Factor S, Electrical Transition Strength

* Corresponding authors: h-khalili@araku.ac.ir

مطالعه عددی نرخ واکنش و شدت گذار (E₂) برای واکنش F¹⁸(p,γ)O¹⁷ در انرژی‌های پایین

امیرهومان آران‌پور، حسن خلیلی*، شهلا ناهیدی‌نژاد، معصومه دالوند

گروه فیزیک، دانشکده علوم، دانشگاه اراک، اراک، ایران ۳۸۱۵۶-۸۳۴۹-۳۸۱۵۶

دریافت: ۱۴۰۲/۰۳/۲۹ ویرایش نهایی: ۱۴۰۲/۰۵/۲۰ پذیرش: ۱۴۰۲/۰۷/۱۷

DOI: [10.22055/jrbms.2024.18898](https://doi.org/10.22055/jrbms.2024.18898)

چکیده

مطالعه عامل اخترفیزیکی S، یکی از روش‌های تجزیه و تحلیل واکنش‌های گیراندازی تابشی پروتونی در چارچوب نظری برای دماهای پایین می‌باشد. در این کار با استفاده از مدل پتانسیل وودز-ساکسون به مطالعه عددی واکنش گیراندازی تابشی پروتونی توسط اکسیژن ۱۷ پرداخته شده است. ابتدا عامل اخترفیزیکی S برای واکنش F¹⁸(p,γ)O¹⁷ در انرژی‌های کم محاسبه شد و سپس با استفاده از عامل اخترفیزیکی S نرخ واکنش به دست آورده شد. همچنین در این کار شدت گذار چهارقطبی الکتریکی [B]E₂] از حالت‌های برانگیخته هسته F¹⁸ بررسی شده است. مشخص شد که [B]E₂] به انرژی و اسپین حالت‌های برانگیخته وابسته می‌باشد. نتایج به دست آمده در خصوص عامل اخترفیزیکی S، نرخ واکنش و شدت گذار در محدوده انرژی 200-500 keV با داده‌های تجربی و سایر مدل‌های نظری مقایسه و مطابقت خوبی داشتند. همچنین عامل اخترفیزیکی S در انرژی صفر با روش بروون یا بی برای تراز $\pm (5/2)$ محاسبه و مقدار $b = 4.8 \text{ keV} S(0) = 4.8 \text{ keV}$ ارزیابی شد.

کلیدواژگان: مدل پتانسیل، واکنش گیراندازی تابشی، عامل اخترفیزیکی S، شدت گذار الکتریکی

دارد. همچنین واکنش‌های هسته‌ای برای درک ساختار و تکامل ستارگان بسیار مهم هستند [۱]، آنها اجزای کلیدی در تعیین سوختن هیدروژن در ستارگان دنباله‌دار، سوزاندن هلیوم در غول‌های قرمز هستند و سوختن کربن، نئون و اکسیژن در مراحل بعدی وجود دارند. سوزاندن ستاره ممکن است واکنش‌های بسیاری از هسته‌های مختلف از سبک تا سنگین از پایدار تا غنی از نوترون را شامل شود [۲].

در توضیحات یاد شده سوختن هیدروژن، تبدیل چهار پروتون به ذره α در داخل ستارگان است، که مهم‌ترین

مقدمه

علم اخترفیزیک به بررسی موضوعاتی مانند تولد، زندگی و مرگ ستارگان، سیارات، کهکشان‌ها، سحابی‌ها و سایر اجرام در جهان می‌پردازد. تشکیل هسته‌های سنگین در تحولات ستاره‌ای شامل سه مرحله می‌باشد، که به ترتیب شامل چرخه پروتون-پروتون، چرخه CNO و سوختن هیدروژن می‌باشد، در بین دو زنجیره واکنش اخترفیزیکی زنجیره پروتون-پروتون در ستارگانی با جرمی کوچکتر یا مشابه خورشید اهمیت بیشتری دارد اما چرخه CNO نقش غالبی به عنوان منبع انرژی و تبدیل هلیوم به هیدروژن در ستاره‌های پر جرم

* نویسنده مسئول: h-khalili@araku.ac.ir

باز نشر این مقاله با ذکر منبع آزاد است.

این مقاله تحت مجوز کریتو کامنز تخصیص ۴.۰ بین‌المللی می‌باشد.



برانگیخته هسته‌ای و ویژگی‌های جمعی ساختار هسته به شمار آیند [8,9].

از این رو، در این کار، شدت گذار چهارقطبی الکتروکمagnet (B(E₂)) از حالت‌های برانگیخته F¹⁸ به اثری و اسپین حالت‌های برانگیخته واپسی می‌باشد، محاسبه شده است.

در مقدمه این مقاله به اختصار در خصوص اهمیت واکنش F¹⁸(p,γ)¹⁷O و کارهای انجام گرفته توضیحاتی داده شد، سپس در قسمت دوم فرمولیندی به کار گرفته شده در این کار، پیرامون پتانسیل مورد نظر،تابع موجی که منجر به تشکیل هسته F¹⁸ می‌شود، سطح مقطع و عامل اخترفیزیکی S و نرخ واکنش توضیح داده شده است و در نهایت در قسمت سوم پیرامون نتایج محاسبات و مقایسه آنها با کارهای دیگران پرداخته شده است.

چارچوب نظری

در این تحقیق از برنامه RADCAP برای اندازه‌گیری تابع موج و عامل اخترفیزیکی S در واکنش‌های گیراندزی پرتاپه پروتون و نوترون استفاده شده است. این برنامه براساس مدل پتانسیل وودز-ساکسون، گاؤسی یا M3Y نوشته شده است. معادله شرودینگر شعاعی برای یک دستگاه دو جسمی به صورت ذیل می‌باشد [10,11]:

$$\frac{-\hbar^2}{2m_N} \nabla_r^2 \psi(r) + (V(r) - E)\psi(r) = 0,$$

$$\nabla_r^2 \equiv \frac{1}{r^2} \frac{d}{dr} \left(r^2 \frac{d}{dr} \right) - \frac{\hat{L}^2}{\hbar r^2}. \quad 1$$

پتانسیل هسته‌ای به کار رفته در هامیلتونی بالا برای واکنش F¹⁸(p,γ)¹⁷O پتانسیل وودز-ساکسون به عنوان یک پتانسیل معتبر که نتایج خوبی برای

منبع انرژی و همچنین عامل ایجاد چندین عنصر شیمیایی می‌باشد.

مواد شیمیایی ترکیب پلاسمای ستاره‌ای، چرخه‌های مختلف CNO بسته به دما می‌تواند شامل ایزوتوپ‌های کربن، نیتروژن، اکسیژن و فلوئور باشد [3,4].

هسته‌های مرکب و واکنش‌های مستقیم دو تا از مهم‌ترین واکنش‌های اخترفیزیک در نوکلئوسترات ستاره‌ای هستند [5,6] از طرف دیگر، بررسی تجربی آنها پرهزینه و زمانبر است. در این زمینه، واکنش‌های گیراندزی تابشی یکی از فرآیندهای مهم در انرژی‌های اخترفیزیکی می‌باشند. یکی از واکنش‌های گیراندزی تابشی پروتونی، واکنش F¹⁸(p,γ)¹⁷O در چرخه CNO می‌باشد که بخش‌های مختلف چرخه را به هم متصل می‌کند. برای شناخت ما از نوکلئوسترات ستاره‌ای محاسبه نرخ گذار برای این واکنش ضروری است.

با محاسبه مقدار عامل اخترفیزیکی S و سطح مقطع گیراندزی تابشی در انرژی‌های کم می‌توانیم نرخ گذار را برای واکنش‌ها تعیین نمود. با این دلیل محاسبه عامل اخترفیزیکی S ضروری است، چون ذرات باردار وقتی به یک هسته نزدیک می‌شوند به دلیل دافعه کولنی پرتاپه، باید انرژی کافی برای عبور از سد کولونی را داشته باشند و همچنین به دلیل سطح مقطع پایین، اندازه‌گیری سطح مقطع در انرژی‌های کم به صورت تجربی دشوار می‌باشد [1].

از آنجایی که در این واکنش گسیل ۷ رخ می‌دهد، بررسی شدت گذار الکترومغناطیسی برای درک این واکنش ضروری و مهم می‌باشد. اندازه‌گیری و تجزیه و تحلیل شدت گذار الکترومغناطیسی هسته‌های اتمی است که نقش مهمی در توسعه فیزیک هسته‌ای ایفا می‌نماید [7].

اندازه‌گیری شدت گذارهای کاهش یافته می‌تواند شاهد بسیار قابل اعتمادی برای درک ویژگی‌های حالت‌های

که در آن V_{so} ثابت جفت‌شدگی اسپین پروتون و تکانه مداری هدف می‌باشد و f_{so} به صورت زیر نوشته می‌شود.

$$f_{so}(r) = \frac{1}{1 + \exp[(r - R_{so}) / a_{so}]}, \quad ۶$$

که R_{so} در آن شعاع اسپین-مدار نامیده می‌شود. V_c پتانسیل کولونی پروتون‌هاست که بر مبنای پتانسیل کولونی توزیع بار کروی به شعاع R_c نوشته می‌شود:

$$V_c(r) = \frac{Ze^2}{4\pi\epsilon_0} \begin{cases} \frac{3 - (r/R_c)^2}{2R_c}, & r \leq R_c \\ \frac{1}{r}, & r \geq R_c \end{cases} \quad ۷$$

که r فاصله بین مرکز و R_c شعاع کولونی بین پروتون و اکسیژن است [14]. شعاع‌های R_c , R_{so} , R_0 معمولاً از رابطه $R_i = r_i A^{1/3}$ پیروی می‌کنند.

احتمال گذار کاهش یافته برای واپاشی گامازا
برهم‌کنش میدان الکترومغناطیسی با نوکلئون را می‌توان بر حسب جمع عملگرهای تانسوری رتبه λ چند قطبی الکتریکی و مغناطیسی به دست آورد:

$$\hat{O} = \sum_{\lambda, \mu} \hat{O}(E\lambda)_\mu + \hat{O}(M\lambda)_\mu, \quad ۸$$

که در آن λ مرتبه قطبیدگی و μ عدد کوأنتومی هماهنگ‌های کروی را نشان می‌دهند و گذارهای الکتریکی و مغناطیسی از روابط زیر به دست می‌آیند:

واکنش‌های مختلف ارائه داده انتخاب شده است که در بخش بعد به اختصار مروری بر آن خواهیم داشت.

پتانسیل وودز-ساکسون

در دهه گذشته بدون اغراق یکی از پتانسیل‌های پرکاربرد در ساختار ساختار هسته‌ها و نوکلئوستراها پس از پیدایش جهان اولیه پتانسیل وودز-ساکسون می‌باشد. پتانسیل وودز-ساکسون یک انتخاب ساده پدیده شناختی برای پتانسیل تک-جسمی است. این پتانسیل مدلی را برای خواص توابع موج تک-ذره‌ای حالت مقید و پیوسته تهیه می‌کند. این پتانسیل از مجموعه پارامترها، برای یک برآش خوب انرژی‌های تک-ذره‌ای هسته‌ای و شعاع هسته‌ای انتخاب شده‌اند. برنامه‌های مختلفی مانند WSPOT.FOR و RADCAP برای به دست آوردن انرژی‌های تک-ذره‌ای و توابع موج شعاعی تک-ذره‌ای حالت‌های پایه و برانگیخته به کار می‌رود. این پتانسیل حاصل جمع یک پتانسیل مرکزی مستقل از اسپین، یک پتانسیل اسپین-مدار و پتانسیل کولونی است [12-14]

$$V(r) = V_0(r) + V_c(r) \langle \vec{s} \cdot \vec{l} \rangle V_s(r), \quad ۹$$

پتانسیل مرکزی $V_0(r)$ مستقل از اسپین است:

$$V_0(r) = V_0 f_0(r), \quad ۱۰$$

$f_0(r)$ شکل فرمی زیر را دارد.

$$f_0(r) = \frac{1}{1 + \exp[(r - R_0) / a_0]}, \quad ۱۱$$

شعاع مرکزی $V_s(r)$ پتانسیل اسپین-مدار است:

$$V_s(r) = v_{LS} \frac{1}{r} \frac{df_{so}(r)}{dr}, \quad ۱۲$$

$$\begin{aligned} \left\langle J_f M_f \middle| \hat{O}(E\lambda) \middle| J_i M_i \right\rangle &= \frac{1}{\sqrt{2J+1}} \\ \left\langle J_i M_i \lambda \mu \middle| J_f M_f \right\rangle \left\langle J_f \middle| \hat{O}(E\lambda) \middle| J_i \right\rangle, \end{aligned} \quad ۱۲$$

عناصر ماتریس تقلیل یافته به صورت زیر نوشته می‌شود:

$$\left\langle J_f \middle| \hat{O}(E\lambda) \middle| J_i \right\rangle = C_{j_f}^{J_i} \left\langle l_f j_f \middle| \hat{O}(E\lambda) \middle| l_i j_i \right\rangle_{J_f}, \quad ۱۳$$

که در آن:

$$C_{j_f}^{J_i} = (-1)^{j_f + I_a + J_i + \lambda} \left[(2J_f + 1)(2J_i + 1) \right]^{1/2} \times \begin{Bmatrix} j_f & J_f & I_a \\ J_i & j_i & \lambda \end{Bmatrix}. \quad ۱۴$$

که در رابطه ۱۳ داریم:

$$\begin{aligned} \left\langle l_f j_f \middle| \hat{O}(E\lambda) \middle| l_i j_i \right\rangle_{J_f} &= \frac{e_\lambda}{\sqrt{4\pi}} (-1)^{l_i + l_j + j_i - j_f} \\ \hat{\lambda} \hat{j}_i \left\langle j_i \frac{1}{2} \lambda_i \middle| j_f \frac{1}{2} \right\rangle &\times \int_0^\infty dr r^\lambda u_{lj}^J(r) u_{l_i j_i}^{J_i}, \end{aligned} \quad ۱۵$$

که در آن به ازای زوج $I_i + I_f + \lambda$ ماتریس کاهش یافته الکترونیکی غیر صفر و برای اعداد فرد صفر می‌شود.

گذار $M\lambda$ به صورت زیر است [10]:

$$\begin{aligned} \left\langle l_f j_f \middle| \hat{O}(M\lambda) \middle| l_i j_i \right\rangle &= \mu_N L_{J_i}^{J_f} \times \\ \left[\frac{1}{l_i} e_M T_{l_i}^{J_i} + g_N G_{j_f, j_i}^{l_i} + g_a G_{J_f}^{J_i, j_i} \right] &\int_0^\infty dr u_{lj}^J. \end{aligned} \quad ۱۶$$

که در آن $g_a = 5/58$ برای پروتون و $g_N = -3/826$ برای نوترون می‌باشدند. تکانه مغناطیسی مغزی هسته $\mu_a = \mu_N$ می‌باشدند. همچنین توابع به کار رفته در معادله بالا

به صورت زیر تعریف می‌شوند:

$$L_{J_i}^{J_f} = (-1)^{j_f + I_a + J_i + 1} \sqrt{\frac{3}{4\pi}} \hat{j}_f J_i \times \begin{Bmatrix} j_f & J_f & I_a \\ J_i & j_i & 1 \end{Bmatrix},$$

۱۷

$$\begin{aligned} \hat{O}(E\lambda)_\mu &= e_{eff, \lambda} r^\lambda y_{\lambda \mu}(\hat{r}), \\ e_{eff, \lambda} &= Z_b e \left(-\frac{m_a}{m_c} \right)^\lambda + Z_a e \left(\frac{m_b}{m_c} \right), \\ \hat{O}(M\lambda)_\mu &= \sqrt{\frac{3}{4\pi}} \mu_N \left[e_{eff, M} l_\mu + \sum_{i=a,b} g_i (S_i)_\mu \right], \\ e_{eff, M} &= \left(\frac{m_a^2 Z_a}{m_c^2} + \frac{m_b^2 Z_b}{m_c^2} \right). \end{aligned} \quad ۹$$

که $Z_b, Z_a, e_{eff, M}, e_{eff, \lambda}$ به ترتیب بار مؤثر الکترونیکی و بار مؤثر مغناطیسی و عدد اتمی هسته‌های پرتابه و هدف هستند و همچنین در آن $\mu_N = e\hbar/(2m_Nc)$ قطبش مغناطیسی هسته و l_μ و s_μ مؤلفه‌های کروی تکانه مداری و اسپینی از مرتبه $(-1, 0, 1)$ می‌باشند. نرخ کلی گذار یک مجموعه مشخص از میانگین حالت‌های اولیه به حالت‌های نهایی به دست می‌آید [11]

$$\Gamma_{i,f,\lambda} = \frac{1}{2J_i + 1} \left(\frac{8\pi(\lambda + 1)}{\lambda[(2\lambda + 1)!!]^2} \right) \left(\frac{k^{2\lambda + 1}}{\hbar} \right) \frac{\left| \left\langle J_f \middle| \hat{O}(\lambda) \middle| J_i \right\rangle \right|^2}{\sqrt{2J_i + 1}}. \quad ۱۰$$

که در آن k تکانه نسبی دستگاه $p + ^{17}\text{O}$ با انرژی جنبش $\hbar^2 k^2 / (2\mu)$ و عملگری که باعث این گذار می‌شود $\hat{O}(\lambda)$ است و آخرین عامل در معادله بالا احتمال گذار کاهش یافته B و به صورت زیر تعریف می‌شود:

$$B(i \rightarrow f) = \frac{\left| \left\langle J_f \middle| \hat{O}(\lambda) \middle| J_i \right\rangle \right|^2}{\sqrt{2J_i + 1}}, \quad ۱۱$$

عناصر ماتریس برای گذار انتقالی $J_i M_i \rightarrow J_f M_f$ از رابطه زیر محاسبه می‌شود:

$$Y_{JM}^l = \sum_{m_m} \langle jm I_a M_a | JM \rangle | JM \rangle | I_a M_a \rangle | jm \rangle, \quad ۲۳$$

که در آن $|jm\rangle$ و $|I_a M_a\rangle$ به ترتیب ویژه‌حالات های هسته هدف (اکسیژن-۱۷) و پرتابه (پروتون) و ضرایب کلیش-گوردون می‌باشد.

$$|jm\rangle = \sum_{m_l, m_b} Y_{l, ml} (\hat{r}) \chi_{mb}. \quad ۲۴$$

χ_{mb} تابع موج اسپینی ذره b (پروتون) است.

سطح مقطع

سطح مقطع واکنش گیراندازی تابشی پروتونی برای گذار الکتریکی (مغناطیسی) از رابطه زیر به دست می‌آید :

$$\begin{aligned} \sigma_{E\lambda J_b}^{d.c} &= \frac{(2\pi)^3}{k^2} \left(\frac{E_{ab} + E_B}{\hbar c} \right)^{2L+1}, \\ &\times \frac{2(2I_a + 1)}{(2I_a + 1)(2I_b + 1)} \times \frac{\lambda + 1}{L[(2\lambda + 1)!!]} \sum_{J_c j_c l_c} (2J_c + 1), \\ &\times \begin{Bmatrix} J_c & J_c & I_b \\ J_b & j_b & L \end{Bmatrix}^2 \left| \left\langle JM \middle\| O_{E\lambda\mu} \middle\| J_0 M_0 \right\rangle \right|^2, \end{aligned} \quad ۲۵$$

که در آن E_B انرژی بستگی هسته ^{18}F و E_{ab} انرژی حالت مقید $p + ^{17}O$ می‌باشدند. قسمت‌های مختلف فرمول بالا برای گذار الکتریکی (مغناطیسی) در بخش قبل توضیح داده شده‌اند و با جای گذاری آنها می‌توان سطح مقطع گیراندازی تابشی را محاسبه نمود و در نهایت سطح مقطع کل برای چندقطبی‌ها عبارتست از :

$$\sigma^{d.c}(E) = \sum_{L, j_b} (SF)_{j_b} \sigma_{L, j_b}^{d.c}(E). \quad ۲۶$$

$$T_{l_i}^{j_i} = \frac{2\tilde{j}_i}{\hat{l}_i} \left(l_i \delta_{j_i, l_i + 1/2} + (l_i + 1) \delta_{j_i, l_i - 1/2} \right) + \quad ۱۸$$

$$(-1)^{l_i + 1/2 - j_i} \frac{\hat{j}_i}{\sqrt{2}} \delta_{j_i, l_i \pm 1/2}, \delta_{j_i, l_i \mp 1/2},$$

$$\begin{aligned} G_{jj', k}^l &= \frac{1}{\hat{l}_i^2} \left[(-1)^{l_i + 1/2 - j_i} \hat{j}_i \delta_{j_j, j_i} - (-1)^{l_i + 1/2 - j_i} \frac{\hat{j}_i}{\sqrt{2}} \delta_{j_j, l_i \pm 1/2}, \delta_{j_i, l_i \mp 1/2} \right], \\ G_{J_f, j_i}^{J_f, j_i} &= (-1)^{J_f + j_i + J + 1} \hat{J} \hat{j}_i \hat{l}_i \tilde{l}_a \begin{Bmatrix} I_a & J_f & j_i \\ J_i & I_a & 1 \end{Bmatrix}. \end{aligned} \quad ۱۹$$

برای انجام محاسبات بالا نیازمند به محاسبه تابع موج است. تابع موج $\psi(r)$ و انرژی E حالت‌های ساکن یک ذره را می‌توان با حل معادله مستقل از زمان شرودینگر به دست آورد.

$$-\frac{\hbar^2}{2\mu} \nabla_r^2 \psi + (V(r) - E) \psi = 0, \quad ۲۰$$

برخی از ذرات مانند الکترون‌ها و فوتون‌ها دارای اسپین غیر صفر هستند که تابع موج آنان بر حسب اسپین ذاتی و همچنین تکانه زاویه‌ای به عنوان درجه آزادی تعریف می‌شوند که در این صورت توابع موج بخش شعاعی و زاویه‌ای برای حالت مقید و برانگیخته می‌توانند با پتانسیل مورد نظر به دست آیند. تابع موج پیوسته نیز از رابطه زیر به دست می‌آیند [۱۶, ۱۷] :

$$\begin{aligned} u_{lj}^J(r \rightarrow \infty) &= i \sqrt{\frac{m_{ab}}{2\pi k \hbar^2}} \times \\ &\left[H_l^{(-)}(r) - S_{lJ} \alpha_c H_l^{(+)}(r) \right] e^{i\sigma_l(E)}. \end{aligned} \quad ۲۱$$

که در آن $H_l^{(-)}$ و $H_l^{(+)}$ توابع موج منظم و نامنظم کولونی و $S_{lJ} = \exp[2\delta_{lJ}(E)]$ و σ_l فاز انتقالی کولونی می‌باشدند.

$$\psi_{JM}(r) = R_{lj}^J Y_{JM}^l, \quad ۲۲$$

که در آن $R_{lj}^J = u_{lj}^J / r$ و Y_{JM}^l بخش زاویه‌ای مداری تابع موج است و u_{lj}^J قسمت شعاعی تابع موج هسته نهایی یعنی $(^{17}O + p \rightarrow ^{18}F + \gamma)$ است.

واکنش و بسیاری از واکنش‌های مشابه برای انرژی‌های در حدود صفر با تجهیزات آزمایشگاهی کنونی قابل انجام نمی‌باشند. روش برونویابی یکی از راه‌های غیرمستقیم برای تعیین سطح مقطع است، اما از آنجا که سطح مقطع با تغییر انرژی دچار تغییرات زیادی می‌شود و به عبارت دیگر به دلیل شدت وابستگی به انرژی بهتر است در این مسیر از کمیتی استفاده شود که تابع کندری نسبت به انرژی داشته باشد. در این خصوصیات عامل اخترفیزیکی S کمیتی متناسب با سطح مقطع می‌باشد، اما قسمت نمایی آن در رابطه سطح مقطع حذف گردیده است، به همین دلیل تابع کندری نسبت به انرژی می‌باشد. با توجه به خصوصیات واکنش $^{17}\text{O}(\text{p},\gamma)^{18}\text{F}$ و مزیت‌های محاسبه عامل اخترفیزیکی S که در انرژی‌های گاموف در شرایط کوچک بودن انرژی برانگیختگی نسبت به سد کولونی و نداشتن رزونانس در محدوده انرژی گاموف (یا عدم همپوشانی) تعداد زیادی حالت رزونانس تغییرات کندری نسبت به انرژی دارد بنابراین برای برونویابی در انرژی‌های پایین از این کمیت استفاده می‌شود.

[18,19]

نتایج محاسبات

اولین گام برای بررسی هر هسته، انتخاب پتانسیل هسته‌ای مناسب است، که در این تحقیق از مدل پتانسیل وودز-ساکسون برای مطالعه واکنش مورد نظر استفاده

SF عامل اسپکتروسکوپی است که مقدار آن حدود ۱ می‌باشد که با داده‌های تجربی قابل تنظیم می‌باشد [10].

عامل اخترفیزیکی S

عامل اخترفیزیکی $S(E)$ که از رابطه ۲۶ برحسب سطح مقطع کل و انرژی به دست می‌آید عبارتست از:

$$S(E) = \frac{E}{\exp(-2\pi\eta)} \sigma(E), \quad ۲۷$$

در فرمول بالا η پارامتر سامرفلد است که به صورت زیر تعریف می‌شود:

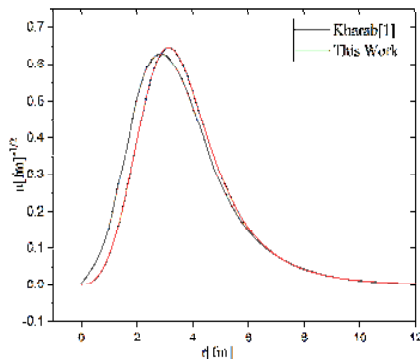
$$\eta = \frac{Z_1 Z_2 e^2}{4\pi\epsilon_0 \hbar v}. \quad ۲۸$$

که در آن v سرعت اولیه نسبی پرتابه و هدف می‌باشد. اکنون با استفاده از نتایج به دست آمده از برنامه RADCAP برای محاسبه نرخ واکنش می‌توانیم از رابطه بین عامل S و نرخ $\langle\sigma v\rangle$ استفاده کنیم.

$$N_A <\sigma v> = N_A \frac{(8/\pi)^{1/2}}{\mu^{1/2} (K_B T)^{3/2}} \times \int_0^\infty S(E) \exp\left(-\frac{E}{K_B T} - 2\pi\eta\right) dE \quad ۲۹$$

ذرات باردار (پرتابه) به دلیل دافعه کولونی هنگامی که به یک هسته هدف نزدیک می‌شوند باید انرژی کافی برای عبور از سد کولونی را داشته باشند، همچنین به دلیل سطح مقطع پایین، اندازه‌گیری مستقیم سطح مقطع این

E_2, E_1 و گذار مغناطیسی M_1 وجود دارد، که در این تحقیق با استفاده از گذاز E_1 و موج ورودی P نمودار عامل اخترفیزیکی S در محدوده 500 keV رسم شد و در شکل ۲ با داده‌های تجربی [20-23] مقایسه گردید.



شکل ۱. مقایسه تابع موج بین نتایج بدست آمده (خط تیره) مربوط با استفاده از پتانسیل وودز-ساکسون و کار آقای خراب [16] (خط قرمز رنگ).

همان‌طور که در شکل ۴ دیده شد، در انرژی‌های پایین تطابق بین نقاط بیشتر است و در نتیجه با کارهای [21-23] مطابقت بیشتری مشاهده می‌شود. همچنین عامل اخترفیزیکی S در انرژی صفر با روش بروون یابی برای تراز $(5/2)^+$ محاسبه و مقدار $S(0) = 4.8\text{ keV}$ به دست آورده شد.

شده است، بهمین منظور انجام محاسبات و دستیابی به نتایج ارائه شده در برنامه کامپیوتی فرترن و برنامه RADCAP انجام گرفته است. هسته ^{17}O با یک پروتون ترکیب شده و ^{18}F را با انرژی 560 MeV می‌دهد، و سپس با حل معادله شرودینگر و تابع موج مقید به محاسبه عامل اخترفیزیکی S پرداخته‌ایم. در این تحقیق ضمن حفظ انرژی 560 MeV برای واکنش $^{17}\text{O}(\text{p},\gamma)^{18}\text{F}$ ، به نتایجی از قبیل تابع موج، عامل اخترفیزیکی S ، نرخ واکنش و شدت گذار چهارقطبی الکترونیکی دست یافته‌ایم.

جدول ۱. پارامترهای مناسب پتانسیل وودز-ساکسون برای تراز $2/5$

V_0	-34.53
R_0	3.50
AA	0.683174
V_{S0}	-70.7086
R_{S0}	3.05
AAS	0.683174
R_C	3.50

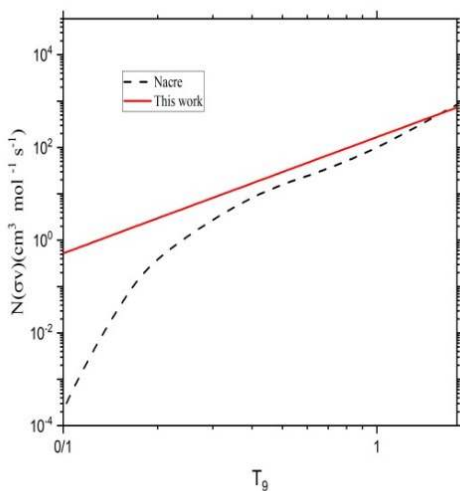
در مرحله اول با جایگزینی پارامترهای پتانسیل و حل معادله شرودینگر، با استفاده از برنامه نمودار تابع موج برای حالت مقید رسم شد، این نمودار با کار انجام شده [16] در شکل ۱ مقایسه شده و در نتیجه تطابق نسبتاً خوبی را داشته است.

و در ادامه با استفاده از پارامترهای پتانسیل، اسپین هسته‌ها، گذارهای الکترونیکی (مغناطیسی)، امواج جزئی مختلف، عامل اخترفیزیکی S ، محاسبه و نمودار آن را رسم کرده‌ایم، برای این واکنش دو گذار الکترونیکی

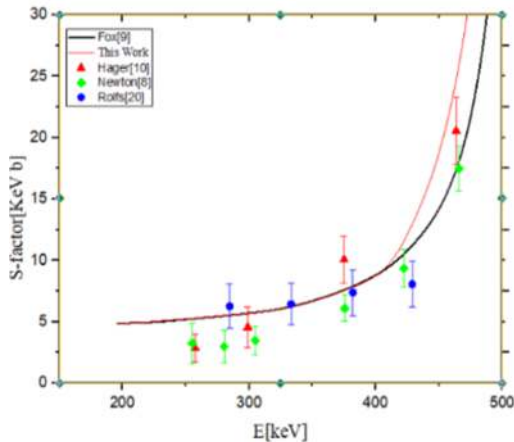
خاطر قدرت و اپاشی ترازهای بالاتر به ترازهای پایین تر بیشتر از واپاشی لایه‌های زیرین است.

جدول ۲. مقایسه بین مقادیر حاسبه شده برای عامل اختفیزیکی

E[keV]	This Work	Fox [9]	Hager [10]	Rolfs [20]	Newton [8]
196	4.80	4.87	-	-	-
226	5.038	4.96	-	-	-
255	5.29	5.26	2.87 ± 1.12	-	3.26 ± 1.6
280	5.34	5.32	-	-	2.99 ± 1.3
284	5.38	5.36	-	6.27 ± 1.87	-
298	5.62	5.59	4.55 ± 1.6	-	-
304	5.75	5.79	-	-	3.46 ± 1.1
333	6.33	6.36	-	6.44 ± 1.71	-
375	7.22	7.25	10.05 ± 1.92	-	6.10 ± 1.0
382	7.42	7.46	-	7.33 ± 1.87	-
422	9.75	9.80	-	-	9.35 ± 1.4
428	10.22	11.24	-	8.06 ± 1.87	-
463	17.02	16.03	20.55 ± 2.7	-	-
465	17.50	15.45	-	-	17.48 ± 1.8
499	57.4	38.67	-	-	-



شکل ۳. مقایسه بین نتایج محاسبات نرخ واکنش و داده‌های NACRE



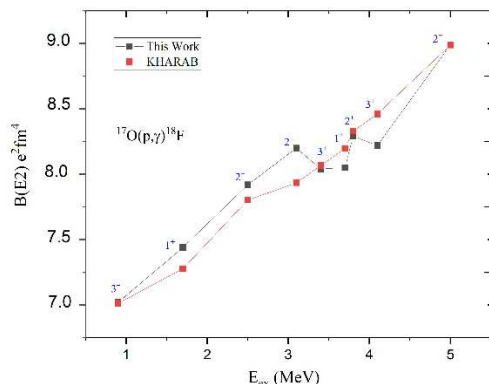
شکل ۲. مقایسه عامل اختفیزیکی به دست آمده (خط قرمز) با استفاده از پتانسیل وودز-ساکسون و داده‌های [20-23].

درادامه با استفاده از معادله ۲۴ نرخ واکنش را در دماهای اختفیزیکی به دست آورده شد و نتایج در شکل ۳ رسم و با NACRE مقایسه شده است که در انرژی‌های بالا تطابق نسبتاً خوبی بین آنها مشاهده می‌شود. در پایان نتایج شدت گذار [E2]B برای حالت‌های مختلف پایه و برانگیخته، در جدول ۳ و شکل ۴ با کار [16] مقایسه و نشان داده شده است. همان‌طور که قبل ذکر شد بهازای فرد $= I_{i+1} + I_i + \lambda$ ماتریس کاهش یافته الکترونیکی صفر می‌شود به همین دلیل شدت مربوط به گذارهای وجود ندارند. نتایج در شکل ۴ نشان داده شده است شدت گذار [E2]B در حالت‌های برانگیخته نسبت به حالت پایه بیشتر است و به انرژی تحریکی بستگی دارد و می‌تواند یکی از دلایل آن کوتاه‌تر شدن عمر متوسط حالت‌های برانگیخته با افزایش انرژی تحریکی باشد که علت آن رابطه عدم قطعیت می‌باشد. به همین

تابع موج، عامل اختوفیزیکی S_{E_1} ، نرخ واکنش و شدت گذار در محدوده انرژی ۵۰۰-۲۰۰ کیلو الکترون ولت محاسبه شد و نتایج نسبتاً مطلوبی با مقایسه بین نتایج این کار و سایر نتایج نظری و تجربی مشاهده شد.

جدول ۳. مقادیر انرژی تحریکی، انرژی بستگی، اسپین پارتیه هسته ^{18}F و مقادیر $B(E2)$ بین حالت‌های برانگیخته و حالت پایه نشان داده شده است (واحد انرژی‌ها بر حسب MeV می‌باشد).

Excitation energy (Mev)	Spin-parity J^π	Binding energy	This work(E_2)	$(E_2)[16]$
0	1^+	5.6		
0.9	3^+	4.7	7.02	7.2
1	0^+	4.6		
1.7	1^+	3.9	7.44	7.4
2.5	2^+	3.1	7.92	7.8
3.1	2^+	2.5	8.20	7.9
3.4	3^+	2.2	8.04	8
3.7	1^+	1.9	8.05	8.1
3.8	2^+	1.8	8.29	8.2
4.1	3^+	1.5	8.22	8.3
5	2^+	0.6	8.99	8.7



شکل ۴. نمودار تغییرات قدرت گذار چهار قطبی الکترونی $[B(E_2)]$ بر حسب انرژی‌های برانگیخته حالت‌های تحریک شده.

مرجع‌ها

- [1] P.A. Crowther, O. Schnurr, R. Hirschi, N. Yusof, R.J. Parker, S.P. Goodwin, H.A. Kassim, The R136 star cluster hosts several

بحث و نتیجه‌گیری

در این مطالعه عددی یک نوع از واکنش‌های گیراندازی تابشی پروتونی را در انرژی‌های پایین بررسی نمودیم. این نوع واکنش‌های گیراندازی تابشی در توسعه فیزیک هسته‌ای برای شناخت ساختار هسته‌ها و چگونگی هسته‌های سنگین از هسته‌های سبک از اهمیت زیادی برخوردار می‌باشند. که در این خصوص یکی از واکنش‌های خیلی با اهمیت در فیزیک هسته‌ای، واکنش گیراندازی تابشی پروتون توسط O^{17} می‌باشد که در چرخه CNO و تشکیل هسته‌های سنگین این چرخه نقش مهمی را بازی می‌کند. برای بررسی عددی مشاهده‌پذیرهای این واکنش از قبیل عامل اختوفیزیکی S ، نرخ واکنش و شدت گذار چهار قطبی الکترونی از پتانسیل وودز-ساکسون برای محاسبات استفاده نمودیم همان‌طور که در دهه‌های گذشته این پتانسیل در تجزیه و تحلیل خیلی از واکنش‌های هسته‌ای نتایج کاملاً مطلوبی را ارائه داده است ما نیز در این مطالعه از پتانسیل وودز-ساکسون استفاده نمودیم و همان‌گونه که از نتایج پیداست در محاسبات مشاهده‌پذیرهای این واکنش نتایج قبل قبولی را در انرژی‌های پایین ارائه داده است. برای این واکنش دو گذار الکترونی E_1, E_2 و یک گذار مغناطیسی M_1 براساس موج فرودی- p - و ترکیب آن با حالت پایه O^{17} رخ می‌دهد وجود دارد. که با توجه به غالب بودن گذار

<https://doi.org/10.1103/RevModPhys.28.432>

[8] A. Bohr, Mottelson, Nuclear structure, Benjamin, New York, 1975.

[9] C. Bertulani, G. Baur, Electromagnetic processes in relativistic heavy ion collisions, Nuclear Physics A, 458 (1986) 725-744. [https://doi.org/10.1016/03759474\(86\)90197-1](https://doi.org/10.1016/03759474(86)90197-1)

[10] J. Huang, C. Bertulani, V. Guimaraes, Radiative capture of nucleons at astrophysical energies with single-particle states, Atomic Data and Nuclear Data Tables, 96 (2010) 824-847. <https://doi.org/10.1016/j.adt.2010.06.004>

[11] C. Bertulani, RADCAP: A potential model tool for direct capture reactions, Computer Physics Communications, 156 (2003) 123-141. [https://doi.org/10.1016/S0010-4655\(03\)441-551](https://doi.org/10.1016/S0010-4655(03)441-551)

[12] A. Bohr, B. Mottelson, Nuclear Structure, Vol. I Benjamin, New York, 1969, Nuclear Structure, 2.

[13] R.D. Woods, D.S. Saxon, Diffuse surface optical model for nucleon-nuclei scattering, Physical Review, 95 (1954) 577. <https://doi.org/10.1103/PhysRev.95.577>

[14] M. Aygun, Alternative Potentials Analyzing the Scattering Cross Sections of 7, 9, 10, 11, 12, ^{14}Be Isotopes from a ^{12}C target: Proximity Potentials, Journal of the Korean Physical Society, 73 (2018) 1255-1262. <https://doi.org/10.3938/jkps.73.1255>

[15] M. Capak, B. Gönül, Remarks on the Woods-Saxon potential, Modern Physics Letters A, 31 (2016) 1650134. <https://doi.org/10.1142/S0217732316501340>

[16] R. Kharab, Dependence of B (E2) and B (M1) transition strengths on energy and spin of excited states of ^{18}F , Modern Physics Letters A, 33 (2018) 1850188.

stars whose individual masses greatly exceed the accepted 150 M_\odot stellar mass limit, Monthly Notices of the Royal Astronomical Society, 408 (2010) 731-751. <https://doi.org/10.1111/j.1365-2966.2010.17167.x>

[2] A.A. Aziz, H.A. Kassim, M.F. Zamrun, Analysis of cross section and astrophysical S-factor at low energies, AIP Conference Proceedings, American Institute of Physics, (2013), pp. 65-69. <https://doi.org/10.1063/1.4803570>

[3] E.G. Adelberger, A. García, R.H. Robertson, K. Snover, A. Balantekin, K. Heeger, M. Ramsey-Musolf, D. Bemmerer, A. Junghans, C. Bertulani, Solar fusion cross sections. II. The p p chain and CNO cycles, Reviews of Modern Physics, 83 (2011) 195. <https://doi.org/10.1103/RevModPhys.83.195>

[4] G. Gyürky, A. Ornelas, Z. Fülöp, Z. Halász, G.G. Kiss, T. Szűcs, R. Huszánk, I. Hornyák, I. Rajta, I. Vajda, Cross section measurement of the astrophysically important ^{17}O (p, γ) ^{18}F reaction in a wide energy range, Physical Review C, 95 (2017) 035805. <https://doi.org/10.1103/PhysRevC.95.035805>

[5] R. Ghasemi, H. Sadeghi, S-factor for radiative capture reactions for light nuclei at astrophysical energies, Results in Physics, 9 (2018) 151-165. <https://doi.org/10.1016/j.rinp.2018.02.033>

[6] H. Khalili, M. Mohammadzadeh, The astrophysical S-factor of proton radiative capture on triton, New Astronomy, 86 (2021) 101572. <https://doi.org/10.1016/j.newast.2021.101572>

[7] K. Alder, A. Bohr, T. Huus, B. Mottelson, A. Winther, Study of nuclear structure by electromagnetic excitation with accelerated ions, Reviews of modern physics, 28 (1956) 432.

A, 217 (1973) 29-70.
[https://doi.org/10.1016/0375-9474\(73\)90622-2](https://doi.org/10.1016/0375-9474(73)90622-2)

[24] C. Angulo, M. Arnould, M. Rayet, P. Descouvemont, D. Baye, C. Leclercq-Willain, A. Coc, S. Barhoumi, P. Aguer, C. Rolfs, A compilation of charged-particle induced thermonuclear reaction rates, Nuclear Physics A, 656 (1999) 3-183.
[https://doi.org/10.1016/S0375-9474\(99\)30-5](https://doi.org/10.1016/S0375-9474(99)30-5)

[25] J. Huang, C. Bertulani, V. Guimaraes, Radiative capture of nucleons at astrophysical energies with single-particle states, Atomic Data and Nuclear Data Tables, 96 (2010) 824-847.
<https://doi.org/10.1016/j.adt.2010.06.004>

<https://doi.org/10.1142/S0217732318501882>

[17] M. Born, Physical aspects of quantum mechanics, Nature, 119 (1927) 354-357.
<https://doi.org/10.1038/119354A0>

[18] E. Yildiz, A. Aydin, I.H. Sarpun, E. Tel, Calculation of cross-sections and astrophysical s-factors for the ^{63}Cu (α , n) and ^{63}Cu (α , γ) reactions, EPJ Web of Conferences, EDP Sciences, 2015, pp. 01010.

<https://doi.org/10.1051/epjconf/20151001010>

[19] A. Moghadasi, H. Sadeghi, R. Pourimani, Calculation of astrophysical S-factor in reaction ^{13}C (p , γ) ^{14}N $\wedge ^{13}\text{C}(p,\gamma)\wedge ^{14}\text{N}$ for first resonance levels, Astrophysics and Space Science, 363 (2018) 1-6. [In Persian]
[https://doi.org/10.1016/0010-4655\(82\)90070-4](https://doi.org/10.1016/0010-4655(82)90070-4)

[20] J.R. Newton, C. Iliadis, A. Champagne, J. Cesaratto, S. Daigle, R. Longland, Measurement of ^{17}O (p , γ) ^{18}F between the narrow resonances at $E_{\text{r lab}} = 193$ and 519 keV, Physical Review C, 81 (2010) 045801.
<https://doi.org/10.1103/PhysRevC.81.045801>

[21] C. Fox, C. Iliadis, A. Champagne, R. Fitzgerald, R. Longland, J. Newton, J. Pollanen, R. Runkle, Thermonuclear reaction rate of ^{17}O (p , γ) ^{18}F , Physical Review C, 71 (2005) 055801.
<https://doi.org/10.1103/PhysRevC.71.055801>

[22] U. Hager, L. Buchmann, B. Davids, J. Fallis, B. Fulton, N. Galinski, U. Greife, D. Hutcheon, D. Ottewell, A. Rojas, Measurement of the ^{17}O (p , γ) ^{18}F reaction rate at astrophysically relevant energies, Physical Review C, 85 (2012) 035803.
<https://doi.org/10.1103/PhysRevC.85.035803>

[23] C. Rolfs, Spectroscopic factors from radiative capture reactions, Nuclear Physics